

1 はしがき、水を伴う粒子流の挙動を明らかにするためには、せん断応力とひずみ速度の関係を明確にする必要がある。粒子流は通常の流体とちがって、Bagnold によって、せん断方向に対して法線方向に分力  $P$  が生ずることが指摘されている。Bagnold は、せん断応力で  $\tau$  の間には、 $\tau = p \cdot \tan \alpha$  (1) の関係をもち、 $p$  としては、 $p = \alpha (\lambda d)^2 (du/dy)^2$  (2) の関係を得た。ここに  $\alpha$  は係数、 $\lambda$  は、粒子容積濃度の一つの表現、 $\alpha$  は固体粒子の衝突角度である。上の関係式を斜面上の砂れき流に適用すると、砂れき流の流速分布および平均流速を比較的良く説明する。したがって、粒子流においては、このような力と生ずる粒子の衝突による効果が大きな要素であることがわかる。

ただ、(1)式に(2)式を代入すると、 $\tau \propto (du/dy)^2$  となり、この式が砂れき流に無理なく適用できるものと考えられる。しかし、粘性効果が高いためは、当然のことながら  $\tau \propto (du/dy)$  の領域があると予想され、このような領域において、 $p$  などのような関係式で表されるか、 $\tau$  と  $p$  との間の関係がどこでもある常数で表現できるか、さらに式中に含まれる係数がいくらか、といった問題が残されている。

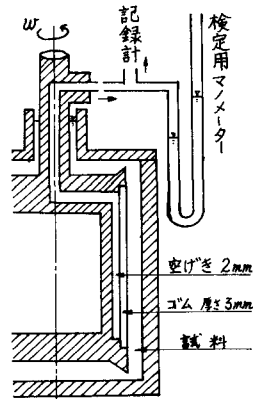
本文は、二重円筒回転式せん断試験装置を用いて、上記の問題を検討するために行なった試験結果を、実験範囲が十分でないため、初期の目的に対して充分な解答は得られていないが、今迄に得られた結果について報告した。

## 2. 法線圧力 $P$ の測定法と実験の範囲

法線圧力の測定は、図1に示すように、共軸二重円筒型粘度計の内筒の表面をゴム張りにし、粒子流をせん断して法線方向力が生じるならば、ゴム膜を押すであろうと考え、ゴム膜の変形による膜裏側の気密部の圧力上昇を測定することによって、 $\tau$  が求められるとした。この方法による圧力測定では、つぎのことと問題になる。

i) 圧力が微小で、力がゴムに吸収され、気密部への圧力の伝達が線形でない恐れ、ii) 流体のせん断に伴うゴム膜の歪みによる圧力の発生、iii) 固体粒子の偏在による圧力の変化。i)については検定によて補正し、ii)は流体のみの場合のものは測定器の固有の性質で、圧力の発生はないと考えられる。iii)は、粒子と液体の比重差はできるだけないようにし、常に試料が膜全体を覆してるように注意して、この影響を少なくした。

用いた粘度計の寸法は、外筒直径 11.4 cm、内筒直径 8.6 cm および 7.6 cm、試料液の高さ 14.0 cm、回転速度は 0 より 200 rev/min である。測定に用いた固体粒子と液体の組合せは、表1に示す。



## 3. 水を含む粒子流のせん断応力とひずみ速度

### (i) 法線応力 $P$

Bagnold は、粒子流を図2のようにモデル化し、単位時間に B 層の粒子が A 层の粒子に衝突する割合を  $f(\lambda) \frac{du}{S}$ 、単位面積にある粒子の数を  $1/B^2 D^2$ 、1 個の粒子による法線力  $p$  と、粒子の衝突を弾性衝突として  $2m du \cos \alpha$  とし、

$$P = \frac{1}{B^2 D^2} f(\lambda) \frac{du}{S} 2m \delta \cos \alpha \quad (3)$$

とした。ここに入りは  $D^2/S$ 、 $f(\lambda)$  は未知係数である。(3)式を整理すると、 $P = \alpha \lambda f(\lambda) D^2 (du/dy)^2 \cos \alpha$  (4)

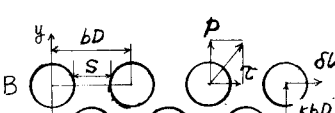


図2 粒子流モデル(Bagnoldによる)

固体粒子	$\sigma$	$D$ cm	C %	液体	$\nu$ cs
合成樹脂	1.06	0.012	0.45 -0.50	筋糖水	1.2
パラフィン	0.863	0.585 0.404	0.15 ~0.48	シリコン油	30.
"	"	"	"	"	15.
"	"	"	"	水 +アルコール	

となる。

今回の実験値を図示すると図3のようになる。測定結果はつきのことと示す。

i) 測定範囲では、はば(3)式にしたがひ、 $p$ は $[D \times (du/dy)]^2$ に比例するとみなしてよい。

ii) この実験は比粘度が水の30

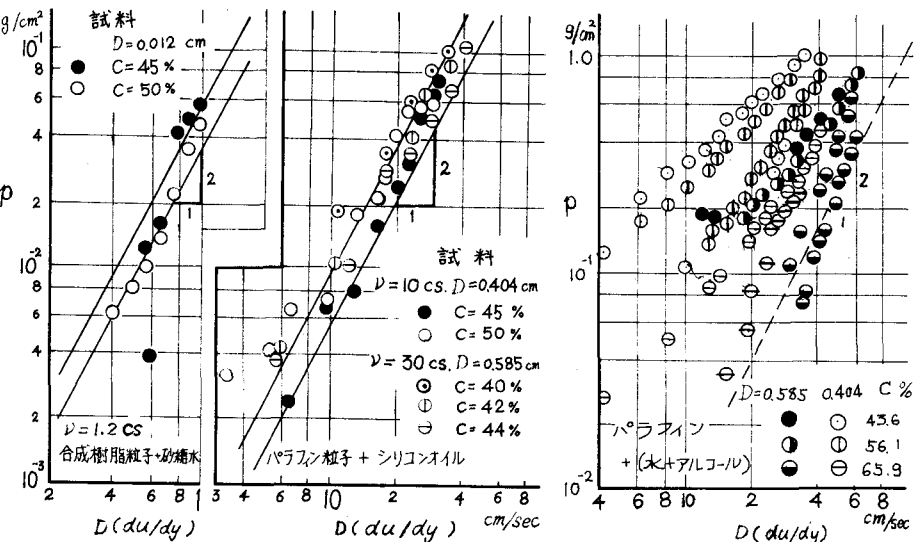


図3  $p$ と $D(du/dy)$ の関係

倍ぐういの粘度が高いところでも成立した。しかし $p$ の大きさは、比粘度が大きいところでは小さい。

iii)  $p$ の大きさは、粒子がきわめて小さいといふことは、また小さい圧力を示す

(ii)せん断応力 $\tau$ とひずみ速度 $du/dy$ との関係

内筒の壁面に作用するせん断力 $\tau$ と内筒を吊る針金のねじれから求め、回転速度から求めたひずみ速度との関係を示すと図4-a,bのようになる。これから、次のことがいえる

図bは比粘度の大きい資料で、 $\tau$ と $du/dy$ の関係は明らかに、せん断降伏値を有する塑性流体とみなされる。したがって、この流体のせん断応力 $\tau$ とひずみ速度 $du/dy$ の関係は

$$\tau - \tau_y = \mu (du/dy) \quad (5)$$

と表され、 $\mu$ の値は図4-bからわかるように、 $du/dy$ に無関係で、濃度 $C$ によって一定値となる。したがって、Bagnoldが表わしているような、 $\tau = p \cdot \tan \phi$ 、 $\tan \phi$ は一定、といふ形は成立しない。

a)は粒子の慣性効果が卓越している場合で、この場合も、濃度がきわめて大きく、せん断の初期に大きな抵抗を示して、のち一定値の $\tau$ を示す場合を除いては、やはり  $\tau - \tau_y = \mu (du/dy)$

または、 $\tau = \text{一定}$ として表される。 $p$ は図3に示すように  $du/dy$  のほう2乗に比例して大きくなることから、これはた  $\tau = p \cdot \tan \phi$  として、 $\tan \phi$  が一定値であることがことは難しい。今後、実験の範囲をひろげて、この $\tan \phi$  の変化を追する予定である。1) Bagnold: Proc. Inst. Civ. Eng. Part 3 174 1955.

2) 大同淳之: 土木学会18回水理講演会講演集 昭49.2

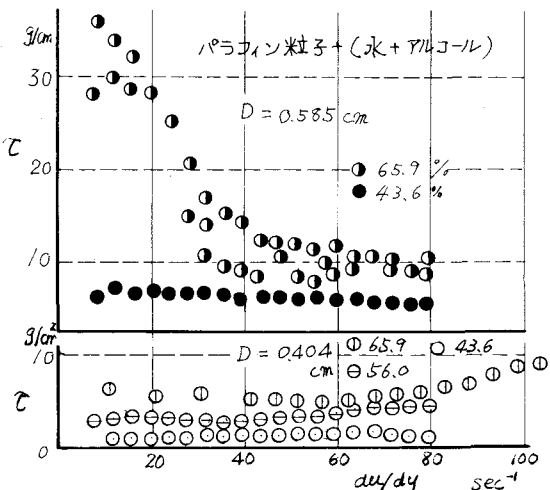


図4-a.  $\tau$ と $du/dy$ の関係

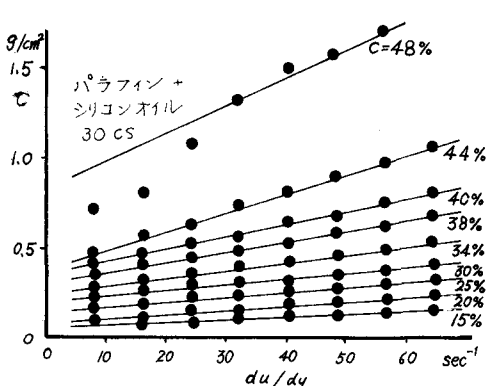


図4-b.  $\tau$ と $du/dy$ の関係